

**CONTINUAL MODEL OF MEDIUM IV:  
CALCULATION OF ANALYTICAL GRADIENTS FOR SOLVATION  
ENERGY OVER ATOMIC COORDINATES.**

Kupervasser\*O.Yu, Wanner N.E.

\*E-mail: olegkup@yahoo.com

In the given paper we describe methods finding analytical gradients (derivatives) of solvation energy over atomic coordinates. It is made both for non-polar energy and for the polar energy found by methods PCM, COSMO and SGB. These gradients are searched with use of analytical gradients of parameters (coordinates, normal vectors and squares) the surface meshes. The surface meshes are located on both the optimal smooth molecular surfaces: solvent excluded surface (SES) and surface solvent accessible surface (SAS) received from SES. These surfaces are found by methods of primary and secondary rolling according to the algorithm described in the previous papers of the series.

Keywords: solvation energy, analytical gradients, numerical gradients, molecular surface, primary rolling, secondary rolling

**КОНТИНУАЛЬНАЯ МОДЕЛЬ СРЕДЫ IV:  
ВЫЧИСЛЕНИЕ АНАЛИТИЧЕСКИХ ГРАДИЕНТОВ ДЛЯ ЭНЕРГИИ  
СОЛЬВАТАЦИИ ПО КООРДИНАТАМ АТОМОВ.**

Купервассер\* О.Ю., Ваннер Н.Э.

\*E-mail: olegkup@yahoo.com

В данной работе мы описываем методы нахождения аналитических градиентов (производных) по координатам атомов от энергии сольватации. Это делается как для неполярной составляющей энергии, так и для полярной составляющей энергии, полученной методами PCM, COSMO и SGB. Эти градиенты ищутся с использованием аналитических градиентов параметров

(координат, нормалей и площадей) поверхностных элементов. Поверхностные элементы расположены как на оптимально гладкой молекулярной поверхности исключенного объема (SES), так и производной от нее поверхности доступной растворителю (SAS). Эти поверхности находятся методами первичной и вторичной обкатки, согласно алгоритму, описанному в [1-9].

Ключевые слова: энергия сольватации, аналитические градиенты, численные градиенты, молекулярная поверхность, первичная обкатка, вторичная обкатка

## 1. Введение

Свободная энергия сольватации  $\Delta G_s$  в континуальных моделях растворителя представляется в виде суммы трех составляющих [10]

$$\Delta G_s = \Delta G_{cav} + \Delta G_{np} + \Delta G_{pol}, \quad (1)$$

$$\Delta G_{nonpol} = \Delta G_{cav} + \Delta G_{np},$$

где

$\Delta G_{pol}$  – полярная составляющая, связанная с поляризацией диэлектрика-раствора

$\Delta G_{cav}$  – кавитационная составляющая, связанная с образованием полости в растворителе

$\Delta G_{np}$  - составляющая, определяемая ванн-дер-ваальсовым взаимодействием

$\Delta G_{pol}$  – неполярная составляющая, являющаяся суммой предыдущих двух.

Приведем краткий обзор работ, посвященных нахождению аналитических градиентов (производных) энергии сольватации, которые берутся по координатам атомов. Подобные градиенты необходимы, например, при финальной оптимизации положения и геометрии молекулы - лиганда в модели доркинга.

Задача нахождения аналитических градиентов распадается на две подзадачи:

- 1) Нахождение аналитических градиентов параметров (координат, нормали, площади) поверхностных элементов молекулярной поверхности.

Эта задача для алгоритма GEPOL построения поверхности (путем заполнения пустого пространства фиктивными шарами) рассмотрена в [11]. Алгоритм, реализующий построение гладкой поверхности методами первичной и вторичной обкатки, описан в [1-9].

- 2) На основе полученных выше градиентов параметров поверхностных элементов рассчитываются аналитические градиенты матриц, входящих в уравнения модели (для COSMO [12-13], для PCM [14-15]). На основе уже градиентов этих матриц затем рассчитываются и аналитические градиенты энергии сольватации.

Следует отметить, что для метода PCM описанная в [14-15] методика нахождения градиентов требует обращения одной из матриц уравнения PCM. Если же число поверхностных элементов велико, то и размер этой матрицы велик. Хранение такой матрицы требует большой компьютерной памяти и значительно повышает вычислительное время задачи. Кроме того сами алгоритмы обращения матриц [16-17] также требуют много памяти и затрат времени. Однако для метода с укрупненными поверхностными элементами [18] обратная матрица мала, ее вычисление и использование не проблематично. Используя методику в [19] можно итерационно найти обратную матрицу. Используя методы, изложенные в [14-15], можно уже найти и сами аналитические градиенты.

В данной работе мы описываем решение второй подзадачи – нахождение аналитических градиентов для полярной составляющей энергии сольватации для методов PCM [20], COSMO [12] и SGB [21], а также для неполярной составляющей энергии сольватации [20]. Для этого используются аналитические градиенты параметров поверхностных

элементов молекулярных поверхностей, полученных методами первичной и вторичной обкатки [1-9]

Существуют два вида поверхности вокруг молекулы [1-9]. Во-первых, это SES (Solvent Excluded Surface) - поверхность исключённого из растворителя объёма. Объем, занимаемый растворителем, лежит *вне* объёма, ограниченного этой поверхностью. Сам субстрат полностью лежит *внутри* этого объёма. Алгоритм [1-9] методами первичной и вторичной обкатки гладкую поверхность SES. Во-вторых, это SAS (Solvent Accessible Surface) - поверхность доступная растворителю, которая образуется центрами молекул растворителя, касающихся молекулы субстрата при первичной обкатке. Первый тип поверхности используется для расчета полярной составляющей энергии сольватации (действительно, на SAS многие участки молекулы, существенные для электростатического взаимодействия, имеют нулевую или очень малую площадь [22]), а второй – для расчета кавитационной и ван-дер-ваальсовской составляющих. Расчеты аналитических градиентов энергии, полученной методами PCM, COSMO и SGB реализованы в программе DISOLV [1-9]

## **2. Физические модели**

### **2.1 Полярная часть энергии сольватации.**

Для расчета неполярной части энергии берутся поверхностные элементы на SES.

#### **2.1.1 Модель PCM.**

##### **2.1.1.1 Основные уравнения для энергии PCM.**

Дадим теперь точное описание используемых нами моделей.

Начнем с модели *PCM (Polarized Continuum Model)* [16], [19-20]. Рассмотрим описанную выше задачу нахождения полярной части энергии сольватации.

При этом раствор  $\Omega_{ex}$  заменяется диэлектриком с известной диэлектрической проницаемостью  $\epsilon_{ex}$ . Растворенная молекула рассматривается как полость  $\Omega_{in}$  внутри этого диэлектрика, заполненная либо вакуумом  $\epsilon_{in}=1$ , либо

диэлектриком с диэлектрической проницаемостью  $\varepsilon_{in} \neq 1$ . Внутри полости находятся точечные заряды  $Q_i$ , находящихся в центрах атомов  $R_i$  на некотором удалении от границы  $\Xi$ . Эти заряды, приближенно аппроксимирующие распределение заряда внутри молекулы, мы находили методами силового поля MMFF94 [23-25]. Возможна ситуация, когда имеется не одна, а несколько полостей, соответствующих нескольким молекулам. При этом влияние диэлектрика-раствора полностью определяется поверхностным зарядом  $\sigma(\mathbf{r})$  на границе полости. Точное линейное уравнение, связывающее этот поверхностный заряд с положением и величиной зарядов внутри поверхности, назовется РСМ. Для нахождения полярной компоненты энергии сольватации мы вначале считаем энергию  $E_1$ , необходимую для перенесения молекулы из диэлектрика  $\varepsilon_{in}$  в вакуум (поверхностный заряд, который при этом образуется, имеет плотность  $\sigma_{vac}(\mathbf{r})$ ). Затем энергию  $E_2$ , необходимую для перенесения молекулы из диэлектрика  $\varepsilon_{in}$  в диэлектрик  $\varepsilon_{ex}$ . Энергия сольватации перехода одного моля субстрата из вакуума в растворитель  $\varepsilon_{ex}$  равна разнице этих двух энергий:  $\Delta G_{pol} = E_2 - E_1$  и описывается следующей формулой:

$$\Delta G_{pol} = \frac{1}{2} \sum_i Q_i \int_{\Xi} \frac{\sigma(\mathbf{r}) - \sigma_{vac}(\mathbf{r})}{|\mathbf{R}_i - \mathbf{r}|} dS. \quad (2)$$

Для  $\varepsilon_{in}=1$  поверхностный заряд в вакууме  $\sigma_{vac}=0$  и, следовательно

$$\Delta G_{pol} = \frac{1}{2} \sum_i Q_i \int_{\Xi} \frac{\sigma(\mathbf{r})}{|\mathbf{R}_i - \mathbf{r}|} dS. \quad (3)$$

Поскольку  $\varepsilon_{in}$  это эмпирически подбираемый параметр, мы выбирали его в расчетах равным  $\varepsilon_{in}=1$ , чтобы исключить из рассмотрения вакуумную составляющую энергии и упростить расчеты.

Интегральное уравнение РСМ для поверхностного заряда имеет следующий вид:

$$\sigma(\mathbf{r}) = \frac{\varepsilon_{in} - \varepsilon_{ex}}{2\pi(\varepsilon_{in} + \varepsilon_{ex})} \left( \sum_i \frac{Q_i((\mathbf{r} - \mathbf{R}_i) \cdot \mathbf{n})}{\varepsilon_{in} |\mathbf{r} - \mathbf{R}_i|^3} + \int_{\Xi} \frac{\sigma(\mathbf{r}')((\mathbf{r} - \mathbf{r}') \cdot \mathbf{n})}{|\mathbf{r} - \mathbf{r}'|^3} dS' \right). \quad (4)$$

Последний интеграл является сингулярным при  $\mathbf{r} = \mathbf{r}'$  и по определению равен:

$$\int_{\Xi} \frac{\sigma(\mathbf{r}')((\mathbf{r} - \mathbf{r}') \cdot \mathbf{n})}{|\mathbf{r} - \mathbf{r}'|^3} dS' = \lim_{\delta \rightarrow 0} \int_{\Xi / (|\mathbf{r} - \mathbf{r}'| < \delta)} \frac{\sigma(\mathbf{r}')((\mathbf{r} - \mathbf{r}') \cdot \mathbf{n})}{|\mathbf{r} - \mathbf{r}'|^3} dS'. \quad (5)$$

После дискретизации поверхности (Рис. 1) (т.е. после разбиения её на малые поверхностные элементы, несущие поверхностный заряд) это линейное уравнение может быть записано в матричной форме:

$$Aq = BQ, \quad (6)$$

$A$  – матрица, зависящая от параметров поверхностных элементов

$B$  – матрица, зависящая от геометрических параметров поверхностных элементов и положения зарядов внутри молекулы.

$q$  – столбец зарядов поверхностных элементов

$Q$  – столбец зарядов внутри молекулы.

Определим параметры малых поверхностных элементов и найдем в дальнейшем, как через них выражаются элементы описанных выше матриц:

$M$  – число поверхностных элементов

$N$  – число зарядов внутри полости

$q_j$  – заряд  $j$ -ого поверхностного элемента.

$S_j$  – площадь поверхностного элемента

$\mathbf{r}_j$  – радиус-вектор центра поверхностного элемента

$\mathbf{n}_j$  – нормаль в центре поверхностного элемента

$Q_i$  – заряды внутри молекулы

$\mathbf{R}_i$  – радиус-вектор заряда  $i$  внутри молекулы

$\varepsilon = \varepsilon_{out} / \varepsilon_{in}$

Элементы  $b_{ij}$  матрицы  $B$ :

$$b_{ij} = \frac{\mathbf{n}_i(\mathbf{r}_i - \mathbf{R}_j)}{\|\mathbf{r}_i - \mathbf{R}_j\|^3} S_i \frac{1 - \varepsilon}{4\pi(\varepsilon + 1)} \frac{1}{\varepsilon_{in}}. \quad (7)$$

Для столбцов матрицы  $B$  выполняется тождество

$$\sum_{i=1}^M b_{ij} = \frac{1 - \varepsilon}{1 + \varepsilon} \frac{1}{\varepsilon_{in}}. \quad (8)$$

Элементы матрицы  $A$ :

$$a_{ij} = \begin{cases} \frac{n_i(\mathbf{r}_i - \mathbf{r}_j)}{\|\mathbf{r}_i - \mathbf{r}_j\|^3} S_i \frac{\varepsilon - 1}{4\pi(\varepsilon + 1)} & i \neq j \\ a_{jj} = \frac{\varepsilon}{\varepsilon + 1} - \sum_{i \neq j} a_{ij} & i = j \end{cases}. \quad (9)$$

Для столбцов матрицы  $A$  выполняется тождество:

$$\sum_{i=1}^M a_{ij} = \frac{\varepsilon}{\varepsilon + 1}. \quad (10)$$

Из (8) и (10) автоматически следует тождество, связывающее суммарный поверхностный заряд с суммарным зарядом внутри полости:

$$\sum_{j=1}^M q_j = - \left( \frac{1}{\varepsilon_{in}} - \frac{1}{\varepsilon_{ex}} \right) \sum_{i=1}^N Q_i. \quad (11)$$

Использование (8) для коррекции численных ошибок автоматически приводит к очень точному выполнению указанного выше тождества. Каждая из двух компонент энергии в (2) или энергия (3) могут быть записаны в матричной форме:

$$\Delta G_{pol} = Q^T D q \quad (12)$$

Где матричные элементы  $D$ :

$$d_{ij} = \frac{1}{2} \left( \frac{1}{\|\mathbf{R}_i - \mathbf{r}_j\|} \right) \quad (13)$$

### 2.1.1.2 Аналитические производные для матриц

$R_{i,x^k}$  -  $x^k$ -ая компонента радиус-вектора  $R_i$

$x^k$  член множества  $\{x^0, x^1, x^2\}$

$i$  – номер сдвигаемого атома ( $0 < i < N$ );

$e^k$  - базисный орт в направлении координаты  $x^k$ , член множества  $\{e^0, e^1, e^2\}$

$\delta_{ij}$  – дельта-функция

Производная элементов матрицы  $A$  по координате одного из атомов  $R_{m,x^k}$ :

$$\left\{ \begin{array}{l} \frac{\partial a_{ij}}{\partial R_{m,x^k}} = \frac{1}{4\pi} \frac{\varepsilon - 1}{\varepsilon + 1} \left( \begin{array}{l} \frac{\mathbf{n}_i \cdot (\mathbf{r}_i - \mathbf{r}_j)}{\|\mathbf{r}_i - \mathbf{r}_j\|^3} \frac{\partial S_i}{\partial R_{m,x^k}} + \\ \frac{\partial \mathbf{n}_i}{\partial R_{m,x^k}} \cdot (\mathbf{r}_i - \mathbf{r}_j) \\ \frac{1}{\|\mathbf{r}_i - \mathbf{r}_j\|^3} S_i + \\ \mathbf{n}_i \cdot \left( \frac{\partial \mathbf{r}_i}{\partial R_{m,x^k}} - \frac{\partial \mathbf{r}_j}{\partial R_{m,x^k}} \right) \\ \frac{1}{\|\mathbf{r}_i - \mathbf{r}_j\|^3} S_i - \\ 3 \frac{\mathbf{n}_i \cdot (\mathbf{r}_i - \mathbf{r}_j)}{\|\mathbf{r}_i - \mathbf{r}_j\|^5} \left( (\mathbf{r}_i - \mathbf{r}_j) \cdot \left( \frac{\partial \mathbf{r}_i}{\partial R_{m,x^k}} - \frac{\partial \mathbf{r}_j}{\partial R_{m,x^k}} \right) \right) S_i \end{array} \right) \text{ for } i \neq j, \\ \frac{\partial a_{jj}}{\partial R_{m,x^k}} = - \sum_{i \neq j} \frac{\partial a_{ij}}{\partial R_{m,x^k}} \quad \text{for } i = j. \end{array} \right. \quad (14)$$

Отсюда следует, что

$$\sum_{i=1}^M \frac{\partial a_{ij}}{\partial R_{m,x^k}} = 0 \quad (15)$$

Производная элементов матрицы  $B$  по координате одного из атомов  $R_{m,x^k}$ :

$$\frac{\partial b_{ij}}{\partial R_{m,x^k}} = \frac{1}{4\pi} \frac{1-\varepsilon}{1+\varepsilon} \frac{1}{\varepsilon_{in}} \left( \begin{array}{l} \frac{\mathbf{n}_i \cdot (\mathbf{r}_i - \mathbf{R}_j)}{\|\mathbf{r}_i - \mathbf{R}_j\|^3} \frac{\partial S_i}{\partial R_{m,x^k}} + \frac{\frac{\partial \mathbf{n}_i}{\partial R_{m,x^k}} \cdot (\mathbf{r}_i - \mathbf{R}_j)}{\|\mathbf{r}_i - \mathbf{R}_j\|^3} S_i + \\ \frac{\mathbf{n}_i \cdot \left( \frac{\partial \mathbf{r}_i}{\partial R_{m,x^k}} - \delta_{jm} \mathbf{e}^k \right)}{\|\mathbf{r}_i - \mathbf{R}_j\|^3} S_i - \\ 3 \frac{\mathbf{n}_i \cdot (\mathbf{r}_i - \mathbf{R}_j)}{\|\mathbf{r}_i - \mathbf{R}_j\|^5} \left( (\mathbf{r}_i - \mathbf{R}_j) \cdot \left( \frac{\partial \mathbf{r}_i}{\partial R_{m,x^k}} - \delta_{jm} \mathbf{e}^k \right) \right) S_i \end{array} \right). \quad (16)$$

Из формул (8) следует, что

$$\sum_{i=1}^M \frac{\partial b_{ij}}{\partial R_{m,x^k}} = 0. \quad (17)$$

Производная элементов матрицы  $D$ .

$$\frac{\partial d_{ij}}{\partial R_{m,x^k}} = -\frac{1}{2} \frac{(\mathbf{R}_i - \mathbf{r}_j) \cdot \left( \delta_{im} \mathbf{e}^k - \frac{\partial \mathbf{r}_j}{\partial R_{m,x^k}} \right)}{\|\mathbf{R}_i - \mathbf{r}_j\|^3}. \quad (18)$$

### 2.1.1.3 Аналитические градиенты энергии для РСМ.

Введем понятие зеркальных зарядов поверхностных элементов, которые являются решением следующего уравнения:

$$A^T q^* = D^T Q. \quad (19)$$

Физический смысл зеркальных зарядов  $q^*$  следующий:

Пусть имеется распределение зарядов внутри полости, создающие поверхностный заряд  $q_{surf} = BQ$  и потенциалы поверхностных элементов  $q^*$ , которые находятся из (19). Тогда эта система зарядов имеет ту же энергию, что и настоящие поверхностные заряды  $q$  и настоящие потенциалы поверхностных элементов  $D^T Q$ . Использование зеркальных зарядов

позволяет избежать операции обращения матрицы при нахождении аналитических градиентов энергии.

**Энергия через параметры и матрицы выражается несколькими способами:**

$$\Delta G_{pol} = Q^T Dq = Q^T DA^{-1}BQ = (q^*)^T BQ = Q^T B^T q^* = (q^*)^T Aq. \quad (20)$$

Производная энергии по смещению одного из атомов  $R_{m,x^k}$ :

$$\frac{\partial \Delta G_{pol}}{\partial R_{m,x^k}} = \frac{\partial (Q^T DA^{-1}BQ)}{\partial R_{m,x^k}} = Q^T \frac{\partial D}{\partial R_{m,x^k}} q - (q^*)^T \frac{\partial A}{\partial R_{m,x^k}} q + (q^*)^T \frac{\partial B}{\partial R_{m,x^k}} Q. \quad (21)$$

Из формул (15), (17) и (21) следует, что изменение всех компонент столбца  $q^*$  на постоянную величину не меняет значения производной энергии. Отсюда обнуление среднего значения зеркального заряда

$$q_i^* = q_i^* - \frac{\sum_{i=1}^M q_i^*}{M} \quad (22)$$

не влияет на энергию, но позволяет уменьшить численные ошибки и ошибки дискретизации.

## 2.1.2 Модель COSMO.

### 2.1.2.1 Основные уравнения для энергии COSMO.

Для случая больших значений  $\epsilon \gg 1$  используется модель *COSMO* ("*CO*nductor-like *S*creening *MO*del") [12]. В этой модели поверхностный заряд находится для бесконечной проницаемости  $\epsilon = \infty$ . Этот случай эквивалентен замене окружающего диэлектрика на проводник. Преимущество COSMO над РСМ состоит в том, что в линейном матричном уравнении столбец поверхностных зарядов помножается на симметричную, положительно определенную матрицу, элементы которой не зависят от нормалей

поверхностных элементов. Для такой матрицы нахождение энергии и аналитических градиентов можно сделать быстрее и точнее.

Уравнение COSMO в интегральной форме записывается в следующем виде:

$$\int_{\Xi} \frac{\sigma(\mathbf{r}')}{|\mathbf{r} - \mathbf{r}'|} dS + \sum_{i=1}^N \frac{Q_i / \varepsilon_{in}}{|\mathbf{r} - \mathbf{R}_i|} = 0. \quad (23)$$

Уравнение COSMO в матричном виде после дискретизации поверхности записывается в следующем виде

$$A^C q = -\frac{2}{\varepsilon_{in}} D^T Q, \quad (24)$$

где матрица  $A^C$  симметрична

$$(A^C)^T = A^C, \quad (25)$$

и ее элементы:

$$\begin{cases} a^C_{ij} = \left( \frac{1}{\|\mathbf{r}_i - \mathbf{r}_j\|} \right) & i \neq j, \\ a^C_{ii} = C_s \frac{1}{\sqrt{S_i}} & C_s = 2\sqrt{3.83}, i = j. \end{cases} \quad (26)$$

Матрица  $D$  была определена выше в методе PCM.

Для COSMO из теоремы Остроградского-Гаусса электростатики следует тождество, связывающее суммарный поверхностный заряд с суммарным зарядом внутри полости:

$$\sum_{j=1}^M q_j = -\frac{1}{\varepsilon_{in}} \sum_{i=1}^N Q_i. \quad (27)$$

Полярная энергия, получаемая для металлической поверхности

$\left( \frac{1}{2} \sum_i Q_i \int_{\Xi} \frac{\sigma(\mathbf{r})}{|\mathbf{R}_i - \mathbf{r}|} dS \right)$ , помножается на корректирующий фактор  $C_f$ :

$$C_f = \left( \frac{\varepsilon - 1}{\varepsilon + \frac{1}{2}} \right). \quad (28)$$

В итоге полярная энергия сольватации:

$$\Delta G_{pol} = \frac{1}{2} C_f \sum_i Q_i \int_{\Xi} \frac{\sigma(\mathbf{r})}{|\mathbf{R}_i - \mathbf{r}|} dS. \quad (29)$$

Относительная погрешность найденной энергии имеет величину порядка  $1/(2\varepsilon)$ .

Энергия в матричной форме:

$$\Delta G_{pol} = C_f Q^T D q = -C_f 2Q^T D (A^C)^{-1} D^T Q = -\frac{C_f}{2} q^T (A^C) q. \quad (30)$$

### 2.1.2.2 Аналитические производные для матриц COSMO.

Производная матрицы  $A^C$ :

$$\left\{ \begin{array}{l} \frac{\partial a_{ij}^C}{\partial R_{m,x^k}} = -\frac{(\mathbf{r}_i - \mathbf{r}_j) \left( \frac{\partial \mathbf{r}_i}{\partial R_{m,x^k}} - \frac{\partial \mathbf{r}_j}{\partial R_{m,x^k}} \right)}{\|\mathbf{r}_i - \mathbf{r}_j\|^3} \text{ for } i \neq j, \\ \frac{\partial a_{ii}^C}{\partial R_{m,x^k}} = -2\sqrt{3.83} \frac{\partial S_i}{\partial R_{m,x^k}} = -a_{ii}^C \frac{\partial R_{m,x^k}}{2S_i} \text{ for } i = j. \end{array} \right. \quad (31)$$

Матрица  $D$  и ее производная найдена ранее в разделе о PCM.

### 2.1.2.3 Аналитические производные для энергии COSMO.

Производная энергии (30) по координате одного из атомов  $R_{m,x^k}$ :

$$\frac{1}{C_f} \frac{\partial \Delta G_{pol}}{\partial R_{m,x^k}} = -2 \frac{\partial (Q^T D (A^C)^{-1} D^T Q)}{\partial R_{m,x^k}} = 2q^T \frac{\partial D^T}{\partial R_{m,x^k}} Q + \frac{1}{2} q^T \frac{\partial A^C}{\partial R_{m,x^k}} q. \quad (32)$$

## 2.1.3 Модель SGB.

### 2.1.3.1 Основные уравнения для энергии SGB.

Выражение для электростатического взаимодействия в рамках эмпирической модели SGB [21] находится напрямую через параметры зарядов внутри полости и так называемые Борновские радиусы атомов  $a_i$ :

$$\Delta G_{pol} = -\frac{1}{2} \cdot \frac{1}{\varepsilon_{in}} \frac{1}{1 + \frac{1}{2\varepsilon}} \left(1 - \frac{1}{\varepsilon}\right) \cdot \sum_{i,j} \frac{Q_i \cdot Q_j}{\sqrt{|\mathbf{R}_{i,j}|^2 + a_i \cdot a_j \cdot \exp\left(-\frac{|\mathbf{R}_{i,j}|^2}{c a_i a_j}\right)}}, \quad (33)$$

Где  $\mathbf{R}_{i,j} = \mathbf{R}_i - \mathbf{R}_j$ ;  $c$ - эмпирическая константа равная 8.

Борновские радиусы атома  $i$  находятся через интегралы по поверхности полости:

$$a_i = \frac{1}{2 \left( \sum_n A_n \cdot I_n^i - A_0 \right)}, \quad (34)$$

$A_n$  – находимые эмпирически константы,  $I_n$  – интегралы по поверхности полости вида:

$$I_n^i = \left[ \oint \frac{(\mathbf{n}_s \cdot (\mathbf{r}_s - \mathbf{R}_i)) dS}{|\mathbf{r}_s - \mathbf{R}_i|^n} \right]^{\frac{1}{n-3}} \quad n \geq 4, \quad (35)$$

или, выражая интегралы через малые поверхностные элементы  $j$ ,

$$I_n^i = \left[ \sum_j \frac{(\mathbf{n}_j \cdot (\mathbf{r}_j - \mathbf{R}_i)) S_j}{|\mathbf{r}_j - \mathbf{R}_i|^n} \right]^{\frac{1}{n-3}} \quad n \geq 4. \quad (36)$$

Мы ограничивались четырьмя интегралами  $n=4,5,6,7$ . Эмпирически подобраны значения параметров (для размерности расстояния в А):

$$A_0 = -8.191 \text{ 1/А}, A_1 = 152.661, A_2 = -238.555, A_3 = 151.700, A_4 = -1.074$$

### 2.1.3.2 Аналитические градиенты энергии SGB

Полный дифференциал энергии при неизменных зарядах и диэлектрических постоянных:

$$\frac{\partial \Delta G_{pol}}{\partial R_{m,x^k}} = -\frac{1}{2} \cdot \frac{1}{\varepsilon_{in}} \frac{1}{1 + \frac{1}{2\varepsilon}} \left(1 - \frac{1}{\varepsilon}\right) \cdot \sum_{i,j} Q_i \cdot Q_j \cdot \frac{\partial g_{i,j}}{\partial R_{m,x^k}}, \quad (37)$$

где функция  $g_{i,j}$  и ее производные определяются формулами:

$$g_{i,j} = \frac{1}{\sqrt{|\bar{R}_{i,j}|^2 + a_i \cdot a_j \cdot \exp\left(-\frac{|R_{i,j}|^2}{c \cdot a_i \cdot a_j}\right)}}, \quad (38)$$

$$\frac{\partial g_{i,j}}{\partial R_{m,x^k}} = \frac{-g_{i,j}}{2} \left[ \begin{aligned} & 2((R_{i,x^k} - R_{j,x^k}) \cdot (\delta_{im} - \delta_{jm}) \left(1 - \frac{1}{c} \exp\left(-\frac{|R_{i,j}|^2}{c \cdot a_i \cdot a_j}\right)\right) + \\ & \left( \frac{\partial a_i}{\partial R_{m,x^k}} a_j + a_i \frac{\partial a_j}{\partial R_{m,x^k}} \right) \left(1 + \frac{|R_{i,j}|^2}{c \cdot a_i \cdot a_j}\right) \exp\left(-\frac{|R_{i,j}|^2}{c \cdot a_i \cdot a_j}\right) \end{aligned} \right]. \quad (39)$$

Дифференциалы для борновских радиусов атомов:

$$\frac{\partial a_i}{\partial R_{m,x^k}} = \frac{-1}{2 \left( \sum_n A_n \cdot I_n^i - A_0 \right)^2} \cdot \sum_n A_n \cdot \frac{\partial I_n^i}{\partial R_{m,x^k}}. \quad (40)$$

Производные  $I_n^i$ -интегралов (для дискретного приближения значений интегралов,  $s$  – индекс поверхностного элемента):

$$\frac{\partial I_n^i}{\partial R_{m,x^k}} = \frac{\sum_s \frac{\partial J_{s,n}^i}{\partial R_{m,x^k}}}{n-3} \frac{1}{[I_n^i]^{n-4}} \quad n \geq 4, \quad (41)$$

где  $J_{s,n}^i$  и их производные ищутся по формулам:

$$J_{s,n}^i = \frac{(\mathbf{n}_s \cdot (\mathbf{r}_s - \mathbf{R}_i)) S_s}{|\mathbf{r}_s - \mathbf{R}_i|^n}, \quad (42)$$

$$\frac{\partial J_{s,n}^i}{\partial R_{m,x^k}} = \left[ \begin{aligned} & \left[ \left( \mathbf{n}_s \cdot \left( \frac{\partial \mathbf{r}_s}{\partial R_{m,x^k}} - \delta_{im} \mathbf{e}^k \right) \right) + \left( \frac{\partial \mathbf{n}_s}{\partial R_{m,x^k}} \cdot (\mathbf{r}_s - \mathbf{R}_i) \right) \right] S_s \\ & + (\mathbf{n}_s \cdot (\mathbf{r}_s - \mathbf{R}_i)) \frac{\partial S_s}{\partial R_{m,x^k}} \\ & \frac{\mathbf{n}_s \cdot (\mathbf{r}_s - \mathbf{R}_i) \left( \frac{\partial \mathbf{r}_s}{\partial R_{m,x^k}} - \delta_{im} \mathbf{e}^k \right) \cdot (\mathbf{r}_s - \mathbf{R}_i) S_s}{|\mathbf{r}_s - \mathbf{R}_i|^{n+2}} \end{aligned} \right] \cdot \quad (43)$$

## 2.2 Неполярная компонента энергии сольватации.

### 2.2.1 Основные уравнения для неполярная компоненты энергии

Для расчета неполярной части энергии берутся поверхностные элементы на SAS.

Для подсчета неполярной части энергии используем формулу Bordner, Cavasotto, Abagyan [20] :

$$E_{SAS} = \sum_j \sigma_j S_j + b, \quad (44)$$

где  $j=1, \dots, N_s$  по всем поверхностным элементам на SAS с ненулевой площадью.

Для воды:

$$\begin{aligned} \sigma_j = \sigma &= 0.00378 \text{ - в ккал/(моль } \text{Å}^2) \\ b &= 0.698 \text{ - в ккал/моль} \end{aligned} \quad (45)$$

### 2.2.2 Градиенты неполярной составляющей энергии сольватации

Градиент энергии неполярной составляющей:

$$\frac{\partial \Delta G_{nonpol}}{\partial R_{m,x^k}} = \sum_{j=1}^N \sigma_j \frac{\partial s_j}{\partial R_{m,x^k}}. \quad (46)$$

Индекс  $j=1, \dots, N_g$  пробегает по всем поверхностным элементам на SAS с ненулевым градиентом.

## 3. Компьютерная проверка расчетов.

Была проведена компьютерная проверка найденных выше формул с помощью программы DISOLV [1-3, 7-8]:

### 3.1 Сравнение численных и аналитических градиентов для методов PCM, COSMO и SGB. (Рис.2)

Для метода PCM, COSMO и SGB получены следующие результаты по сравнению численных градиентов с аналитическими:

1) Для PCM:

относительная погрешность численной производной по отношению к аналитической для градиентов больших 2 ккал/(моль А) меньше 6,6 % и в среднем равна 2%. Для объемных атомов погрешность численной производной по отношению к аналитической для градиентов больших 2 ккал/(моль А) меньше 0.03%.

2) Для SGB:

относительная погрешность численной производной по отношению к аналитической для градиентов больших 2 ккал/(моль А) меньше 3% и в среднем равна 1,5%. Для объемных атомов погрешность численной производной по отношению к аналитической для градиентов больших 2 ккал/(моль А) меньше 0.03%.

3) Для COSMO:

относительная погрешность численной производной по отношению к аналитической для градиентов больших 2 ккал/(моль А) меньше 6% и в среднем равна 3%

Для объемных атомов погрешность численной производной по отношению к аналитической для градиентов больших 2 ккал/(моль А) меньше 0.2%.

Ошибки численных градиентов объемных атомов определяются погрешностью вычисления энергии, а поверхностных атомов – прежде всего сдвигом сетки, происходящем при сдвиге атома.

### 3.2 Сравнение аналитических градиентов для COSMO и SGB с PCM

1) аналитические градиенты для COSMO по сравнению с PCM (Рис.3):

- а) Для диэлектрической проницаемости стремящейся к бесконечности  $\epsilon \rightarrow \infty$  и размера шага сетки стремящегося к нулю, аналитические градиенты для COSMO и PCM должны точно совпадать (т.к. COSMO является пределом PCM при бесконечной диэлектрической проницаемости и бесконечно малом шаге сетки). Действительно, для COSMO для  $\epsilon \rightarrow \infty$  относительная погрешность аналитической производной по отношению к аналитической производной для PCM и для градиентов больших 2 ккал/(моль А) меньше 2.5% и в среднем равна 1.2%. Максимальные значения относительной погрешности производной соответствует поверхностным атомам.
- б) Для COSMO для  $\epsilon=78.5$  (вода) относительная погрешность аналитической производной по отношению к аналитической производной для PCM немного выше, а именно, для градиентов больших 2 ккал/(моль А) меньше 4% и в среднем равна 2%.

2) Сравним аналитические градиенты для SGB с PCM (Рис.4):

Для SGB для  $\epsilon=78.5$  (вода) Относительная погрешность аналитической производной по отношению к аналитической производной для PCM много выше, а именно, для градиентов больших 2 ккал/(моль А) она меньше 23% и в среднем равна 13%. Это неудивительно, поскольку SGB это приближенная эмпирическая модель.

## Выводы.

В работе проведены расчеты аналитических градиентов энергии на основе методов PCM, COSMO и SGB для молекулярной поверхности, полученной методами первичной и вторичной обкатки в соответствии с алгоритмами, изложенными в [1-9].

Приведем проблемные случаи, которые могут возникать при расчете градиентов и решении задачи оптимизации геометрии молекул с их использованием:

- Вырождение - тройная точка опирается не на три, а на большее число атомов (например, ароматические кольца)
- Происходит резкая перестройка поверхности из-за изменения радиуса вторичной обкатки или критического расстояния самой программой при автоматической его настройке
- Происходит резкая перестройка поверхности из-за появления или исчезновении тора обкатки (первичного или вторичного) при сдвиге тройных точек или изменения узкого перешейка тора на расстояниях близких к критическому
- Происходит резкая перестройка поверхности из-за появления или исчезновении тройных точек первичных или вторичных.

Как результат могут быть скачки градиентов и «колебания» оптимизатора вблизи вышеописанных точек.

Были проведены компьютерные расчеты для подтверждения правильности формул для градиентов энергии, полученные разными методами. Хорошее совпадение аналитических градиентов между собой для разных методов, а также хорошее совпадение численных градиентов с аналитическими для метода COSMO подтверждает правильность найденных формул.

## Благодарности.

Данная работа является более детальным изложением и дальнейшим развитием статьи [9]. Авторы выражают глубокую признательность всем авторам этой публикации за проделанную работу, которая послужила основой и для данной статьи.

## Список литературы

- [1] *Купервассер О.Ю. и др.* //Континуальная модель среды I: Алгоритм для построения гладкой молекулярной поверхности, arXiv:1107.1482
- [2] *Купервассер О.Ю. и др.* //Континуальная модель среды II: Универсальный адаптивный алгоритм для триангуляции гладкой молекулярной поверхности, arXiv:1107.1658
- [3] *Купервассер О.Ю. и др.* //Континуальная модель среды III: Вычисление аналитических градиентов параметров поверхностных элементов на молекулярных поверхностях по координатам атомов, arXiv:1107.1655
- [4] *Жабин С.Н., Сулимов В.Б.* TAGSS: Свидетельство о государственной регистрации программ для ЭВМ № 2006613753// Зарегистрировано в реестре программ для ЭВМ Федеральной службы по интеллектуальной собственности, патентам и товарным знакам 27 Октября 2006
- [5] *Жабин С.Н., Сулимов В.Б.* Программа построения доступной растворителю поверхности для произвольных органических молекул и интерактивный просмотр положений лигандов в активных центрах белков// Сборник материалов XIII российского национального конгресса «Человек и лекарство», 3-5 апреля 2006. С.15.
- [6] *Жабин С.Н., Сулимов В.Б.* Программа для визуализации и редактирования молекул «MOLRED»//Сборник материалов II всероссийской конференции

«Многомаштабное моделирование процессов и структур в нанотехнологиях», 27-29 мая 2009. С. 166

[7] *Купервассер О.Ю., Жабин С.Н., Сулимов В.Б.* DISOLV: Свидетельство о государственной регистрации программ на ЭВМ № 2010612994// Зарегистрировано в реестре программ для ЭВМ Федеральной службы по интеллектуальной собственности, патентам и товарным знакам 6 мая 2010 года.

[8] *Купервассер О.Ю., Жабин С.Н., Сулимов В.Б.*, Континуальные модели растворителя. Подсчет свободной энергии растворения//Сборник материалов II всероссийской конференции: Многомаштабное моделирование процессов и структур в нанотехнологиях, 27-29 мая 2009. С. 230.

[9] *Купервассер О.Ю., Жабин С.Н., Мартынов Я.Б., Федулов К.М., Офёркин И.В., Сулимов А.В., Сулимов В.Б.*// Вычислительные методы и программирование. 2011. Т.12. С. 246

[10] *Basilevsky M.V., Leontyev I.V., Lushekina S.V., Kondakova O.A., Sulimov V.B.* // J. Comp. Chem. 2006. V. 27. P. 552

[11] *Cossi M., Mennucci B., Gammi R.*// Journal of Computational Chemistry, 1996. V.17. P.57

[12] *Klamt A., Schuurmann G.* // J. Chem. Soc. Perkin Trans 2. 1993. P.799-805.

[13] *Truong T.N., V. Stefanovich E.V.*// J. Chem. Phys. 1995. V.103. P.3709

[14] *Cammi R., J. Tomasi J.*//J. Chem. Phys. 1994.V.100. P.7495

[15] *Cammi R., J. Tomasi J.*// J. Chem. Phys. 1994. V.101. P.5900

[16] *Tomasi J., Persico M.* // Chem. Rev. 1984. V.94. P.2027

[17] *Cammi R., J. Tomasi J.*//Journal of Computational Chemistry 1995. V.16. P.1449

[18] *Totrov M., Abagyan R.* // Biopolymers (Peptide Science). 2001. Vol. 60. P.124

[19] *Pomelli S., Tomasi J.*// Theor Chem Acc. 1997. V.96 P.39

[20] *Bordner A.J., Civasotto C.N., Abagyan R.A.* // J. Phys. Chem. B. 2002. V.106 P.11009

- [21] *Romanov A.N., Jabin S.N., Martynov Y.B., Sulimov A.V., Grigoriev F.V., Sulimov V.B.* // J. Phys. Chem. A. 2004. V.108. N. 43. P. 9323
- [22] *Totrov M.* // J. Comp. Chem. 2004. V.25 P.609
- [23] *Halgren T.A.* // J. Comp. Chem. 1996. V.17 P.490
- [24] *Halgren T.A.* // J. Comp. Chem. 1996. V.17 P.520
- [25] *Halgren T.A.* // J. Comp. Chem. 1996. V.17 P.553

## Список рисунков

Рис. 1 Элемент поверхности относительно начала координат.

Рис. 2 Относительная ошибка численного и аналитического градиента для методов PCM, COSMO и SGB (для шага сетки 0.1) По оси  $x$  – величина численного градиента энергии (COSMO или SGB), по оси  $y$  – относительная погрешность энергии по отношению к аналитическому градиенту (COSMO

или SGB, соответственно): 
$$\delta^{COSMO} = \frac{|\nabla_{R_j} E_{num} - \nabla_{R_j} E_{anal}|}{|\nabla_{R_j} E_{num}|} .$$

Рис. 3 Относительная ошибка аналитических градиентов COSMO в сравнении с PCM для  $\varepsilon \rightarrow \infty$ . По оси  $x$  – величина градиента PCM, по оси  $y$  – относительная погрешность по отношению к методу COSMO:

$$\delta = \frac{|\nabla_{R_j} E_{COSMO} - \nabla_{R_j} E_{PCM}|}{|\nabla_{R_j} E_{PCM}|} .$$

Рис. 4 Относительная ошибка аналитических градиентов COSMO и SGB в сравнении с PCM для  $\varepsilon=78.5$ . По оси  $x$  – величина аналитического градиента PCM, по оси  $y$  – относительная погрешность по отношению к методу

(COSMO или SGB): 
$$\delta = \frac{|\nabla_{R_j} E_{(COSMO,SGB)} - \nabla_{R_j} E_{PCM}|}{|\nabla_{R_j} E_{PCM}|} .$$

Рис. 1

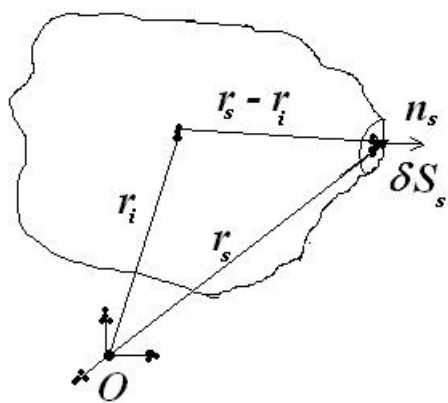


Рис. 2

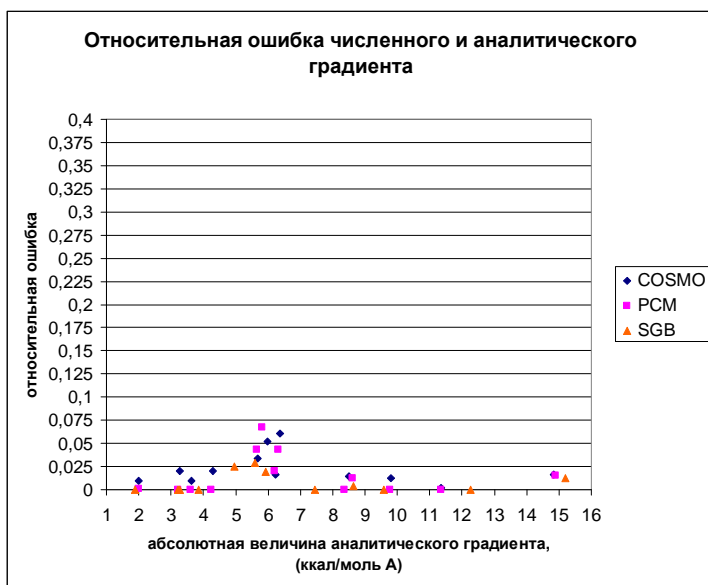


Рис. 3

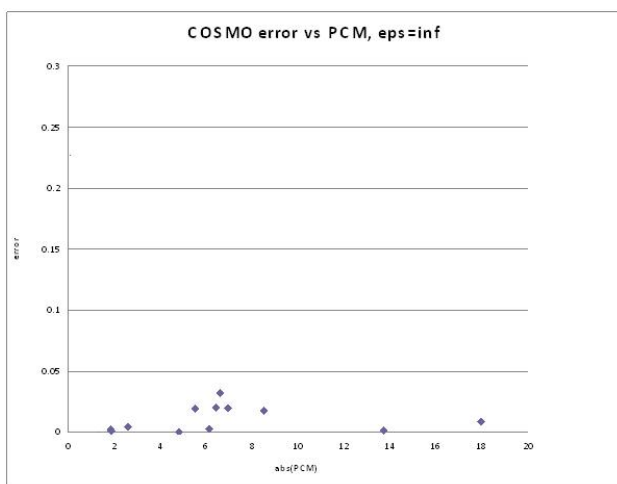


Рис 4.

